

## Математическое моделирование упругопластического состояния вращающегося диска

*В. В. Акинъшин, М. А. Артемов, Е. С. Барановский,*

*Н. С. Скорняков, Д. Б. Фатхудинов*

*Воронежский государственный университет*

**Аннотация:** В рамках приближения плоского напряженного состояния рассматривается задача о быстровращающемся диске, испытывающем боковое давление. В рамках модели идеального упругопластического тела и условия пластичности Мизеса определены значения внешних параметров, для которых происходит зарождение пластических зон. Определение напряжений в пластической области определяется из решения задачи Коши, включающей два дифференциальных уравнения для определения ненулевых компонент тензора напряжений. Для оценки напряженного состояния в упругой области вводится эквивалентное напряжение. Наибольшие допустимые значения внешних параметров определяются из решения задачи, когда диск находится в предельном состоянии. Численные результаты представлены в виде годографа вектора напряжений.

**Ключевые слова:** плоское напряженное состояние, условие пластичности Мизеса, эквивалентное напряжение, упругопластическое тело, вращающийся диск, годограф вектора напряжений

### Введение

Задача определения напряженного и деформированного состояния вращающегося диска для разных моделей рассматривалась в ряде работ, например, [1–12]. В [1] дано решение задачи о вращающемся диске, находящемся в упругом состоянии. В работах [2, 8] приведено решение упругопластической задачи для условия пластичности Мизеса в рамках деформационной теории. В [3, 5, 7] задача решалась при выборе условия пластичности Треска. Кусочно-линейные функции пластичности использовались в работах [9–11] при рассмотрении теплового воздействия на диск. В [12] рассматривалась задача о вращающемся диске для условий пластичности Херши–Хосфорда. В настоящей работе рассматривается вопрос определения границ, в которых могут изменяться значения внешних параметров, и их зависимость от констант материала, входящих в определяющие уравнения выбранной математической модели.

### Постановка задачи

В приближении плоского напряженного состояния рассматривается задача о вращающемся тонком диске постоянной толщины рис. 1.

Выбирается цилиндрическая система координат  $\rho\theta z$ , ось  $z$  которой проходит через центр диска  $\rho = 0$ , а плоскость  $z = 0$  является средней плоскостью. На внешний контур диска  $\rho = b$  действует давление  $p_b$ . Выбирается модель изотропного идеального упругопластического тела и условие пластичности Мизеса [2]. Необходимо найти границы изменения внешних параметров, для которых вращающийся диск будет находиться в упругопластическом состоянии, когда в пластическом состоянии находится некоторая центральная область диска  $0 \leq \rho \leq c$  ( $c \leq b$ ).

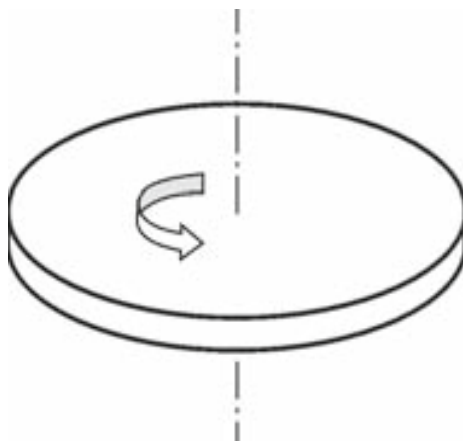


Рис. 1. Вращающийся диск

### Пластическая область

В области пластического состояния  $0 \leq \rho \leq c$  напряжения определяются из решения задачи Коши

$$\begin{cases} \sqrt{\sigma_\theta^2 + \sigma_\rho^2} - \sigma_\theta \sigma_\rho = k, \\ \rho \frac{\partial \sigma_\rho}{\partial \rho} + \sigma_\rho - \sigma_\theta + m\rho^2 = 0, \\ \sigma_\rho|_{\rho=0} = k. \end{cases} \quad (1)$$

Условие  $\sigma_\rho|_{\rho=0}=k$  следует из симметрии поля напряжений в центре диска. На упругопластической границе  $\rho=c$  должно выполняться условие непрерывности напряжений

$$[\sigma_\rho]|_{\rho=c}=[\sigma_\theta]|_{\rho=c}=0. \quad (2)$$

Из первого равенства в (1) следует

$$\sigma_\theta = \frac{\sigma_\rho \pm \sqrt{4k^2 - 3\sigma_\rho^2}}{2}. \quad (3)$$

Если, используя (3), исключить из уравнения равновесия окружное напряжение  $\sigma_\theta$ , то получим

$$2\rho \frac{\partial \sigma_\rho}{\partial \rho} + \sigma_\rho \pm \sqrt{4k^2 - 3\sigma_\rho^2} + 2m\rho^2 = 0. \quad (4)$$

Из условий (2) и уравнения равновесия следует, что на упругопластической границе  $\rho=c$  производная  $\partial \sigma_\rho / \partial \rho$  также непрерывна. Однако этой информации недостаточно для выбора знака в уравнении (4). Выбор знака «плюс» или «минус» в (4) можно обосновать только в ходе решения задачи. От задачи Коши (1) можно перейти к иной задаче Коши вида:

$$\begin{cases} \rho \frac{\partial \sigma_\rho}{\partial \rho} + \sigma_\rho - \sigma_\theta + m\rho^2 = 0, \\ \frac{\partial \sigma_\theta}{\partial \rho} + \frac{2\sigma_\rho - \sigma_\theta}{2\sigma_\theta - \sigma_\rho} (\sigma_\theta - \sigma_\rho - m\rho^2) = 0, \\ \sigma_\rho|_{\rho=0} = \sigma_\theta|_{\rho=0} = k. \end{cases} \quad (5)$$

### Упругая область

Для диска, находящегося в упругом состоянии, напряжения определяются по формулам [1]:

$$\sigma_{\rho} = -\frac{3+\nu}{8}m\rho^2 + A - \frac{B}{\rho^2}, \quad \sigma_{\theta} = -\frac{1+3\nu}{8}m\rho^2 + A + \frac{B}{\rho^2}, \quad (6)$$

где  $\nu$  – коэффициент Пуассона,  $m = \gamma b^2 \omega^2 / (kg)$  – безразмерный параметр инерциального воздействия,  $\omega$  – угловая скорость вращения диска,  $g$  – ускорение силы тяжести,  $\gamma$  – удельный вес.

В центре диска, учитывая симметрию поля напряжений,

$$\sigma_{\rho} |_{\rho=0} = \sigma_{\theta} |_{\rho=0}. \quad (7)$$

На границе  $\rho = b$  радиальное напряжение  $\sigma_{\rho} |_{\rho=b} = -p_b$ . Для этих граничных условий напряжения будут определяться по формулам:

$$\sigma_{\rho} = \frac{3+\nu}{8}m(b^2 - \rho^2) - p_b, \quad \sigma_{\theta} = \frac{3+\nu}{8}m(b^2 - \mu\rho^2) - p_b, \quad \mu = \frac{1+3\nu}{3+\nu}. \quad (8)$$

Из (8) выражаем  $\sigma_{\theta}$  через  $\sigma_{\rho}$  и другие параметры:

$$\sigma_{\theta} = \mu\sigma_{\rho} + (1-\nu)\left(\frac{mb^2}{4} - \frac{2p_b}{3+\nu}\right). \quad (9)$$

Соотношение (9) показывает, что в плоскости  $\sigma_{\theta}, \sigma_{\rho}$  годограф вектора напряжений – отрезок прямой. Поскольку коэффициент Пуассона  $\nu \in [0; 0.5]$ , соответственно коэффициент  $\mu \in [1/3; 5/7]$ , то функция (4) монотонно возрастающая. Из (9) также следует, что увеличение или уменьшение параметров  $m$  и  $p_b$  приводит к противоположным эффектам изменения значений окружного напряжения, а угол наклона прямой (9) к оси абсцисс зависит от параметра  $\nu$ : увеличивается с увеличением параметра  $\nu$ , поскольку  $\mu = \mu(\nu)$  – монотонно возрастающая функция.

### Безразмерные величины

Приводимые в статье соотношения записываются в безразмерном виде. Все величины, имеющие размерность длины, отнесены к радиусу диска  $b$ ,

все величины, имеющие размерность напряжений, отнесены к пределу пластичности при одноосном растяжении  $k$ .

### Эквивалентное напряжение

Для оценки величины напряженного состояния в точках упругой области необходимо выбрать эквивалентное напряжение – неотрицательную скалярную функцию симметричную относительно собственных значений тензора напряжений. Если все компоненты тензора напряжений равны нулю, то полагаем, что и эквивалентное напряжение должно быть равно нулю.

Определим эквивалентное напряжение равное функции пластичности Мизеса

$$\sigma_{eq} = \left( \frac{(\sigma_\theta - \sigma_\rho)^2 + (\sigma_\theta - \sigma_z)^2 + (\sigma_z - \sigma_\rho)^2}{2} \right)^{1/2}. \quad (10)$$

### Границы зарождения пластической области

Примем, что переход в пластическое состояние в точках области  $0 \leq \rho \leq b$  происходит когда (условие пластичности Мизеса)

$$\sigma_{eq} = k. \quad (11)$$

В (11) постоянная величина  $k$  – предел пластичности на одноосное растяжение.

Поскольку

- 1) годограф вектора напряжений для упругого состояния диска – отрезок прямой (9),
- 2) имеет место условие (7),
- 3)  $\sigma_\rho = \sigma_\rho(\rho)$  – монотонно возрастающая функции,
- 4) кривая пластичности является выпуклой,

то в случае, когда годограф вектора напряжений не выходит за границы кривой пластичности, величина  $\sigma_{eq}$  может принимать значение равное  $k$  или в точке  $\rho = 0$  и/или на границе  $\rho = b$  (рис. 2).

## Условия зарождения пластической области в центре диска и/или на боковой поверхности диска

Рассмотрим вопрос об определении диапазона изменения параметров управления  $m$ ,  $p_b$  и  $\nu$ , когда в пластическом состоянии находится только точка  $\rho = 0$  и/или граница  $\rho = b$ .

Из формул (8), (11) следует, что в точке  $\rho = 0$  эквивалентное напряжение  $\sigma_{eq} = k$ , когда

$$m = m_0 = \frac{8(p_b + k)}{(3 + \nu)b^2}, \quad (12)$$

$$m = m_0 = \frac{8(p_b - k)}{(3 + \nu)b^2}, \quad (12^*)$$

на внешнем контуре  $\rho = b$  эквивалентное напряжение  $\sigma_{eq} = k$ , если

$$m = m_b = \frac{2(p_b + \sqrt{4k^2 - 3p_b^2})}{(1 - \nu)b^2}. \quad (13)$$

$$m = m_b = \frac{2(p_b - \sqrt{4k^2 - 3p_b^2})}{(1 - \nu)b^2}. \quad (13^*)$$

На рис. 2 приведены графики зависимостей параметров  $m_0$  и  $m_b$  от параметра  $p_b$  для разных значений параметра  $\nu$ . Пунктирной линии соответствует выбор формулах (12\*) и (13), а сплошной – выбор формул (12) и (13).

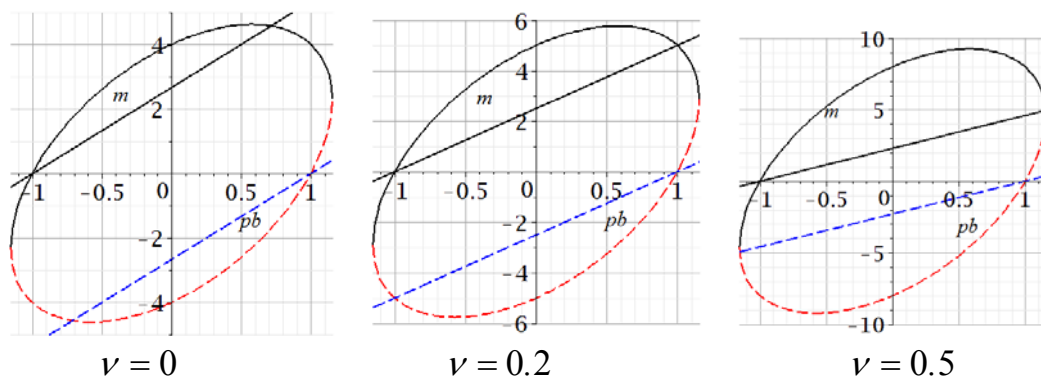


Рис. 2. Графики зависимости  $m_0$ ,  $m_b$  от параметра  $p_b$

Из формул (12) и (13) находим, что равенство  $m_0 = m_b$  выполняется, если

$$p_b = p^* = \frac{(1+3\nu)(5-\nu)}{7\nu^2+2\nu+7}k. \quad (14)$$

Если  $p_b = p^*$ , то из формул (12) и (13) получаем

$$m = m^* = \frac{32(1+\nu)k}{(7\nu^2+2\nu+7)b^2}. \quad (15)$$

Учитывая диапазон изменения параметра  $\nu$  находим, что  $m^* \in [32k/(7b^2); 64k/(13b^2)]$ .

Равенство  $\sigma_{eq}|_{\rho=0} = k$  может выполняться, если параметр  $p_b \in [-k; p^*]$ , а параметр  $m = m_0$ . Если  $p_b = -k$ , то  $m_0 = 0$ . В этом случае  $\sigma_\rho = \sigma_\theta = k$  и диск находится в предельном состоянии. Поэтому в дальнейшем  $p_b \in (-k; p^*]$ .

#### Только в центре диска $\sigma_{eq} = k$

В данном случае должно выполняться неравенство  $m_0 < m_b$ , которое будет верным, если  $p_b \in (-k; p^*)$ . Таким образом, для того чтобы только в точке  $\rho = 0$  выполнялось условие  $\sigma_{eq} = k$ , параметры управления должны удовлетворять системе

$$\begin{cases} \nu \in [0; 0.5], \\ p_b \in (-k; p^*), \\ m = m_0. \end{cases} \quad (16)$$

На рис. 5 приведены графики годографа вектора напряжений для разных значений коэффициента Пуассона, когда значения параметров управления определяется по (16).

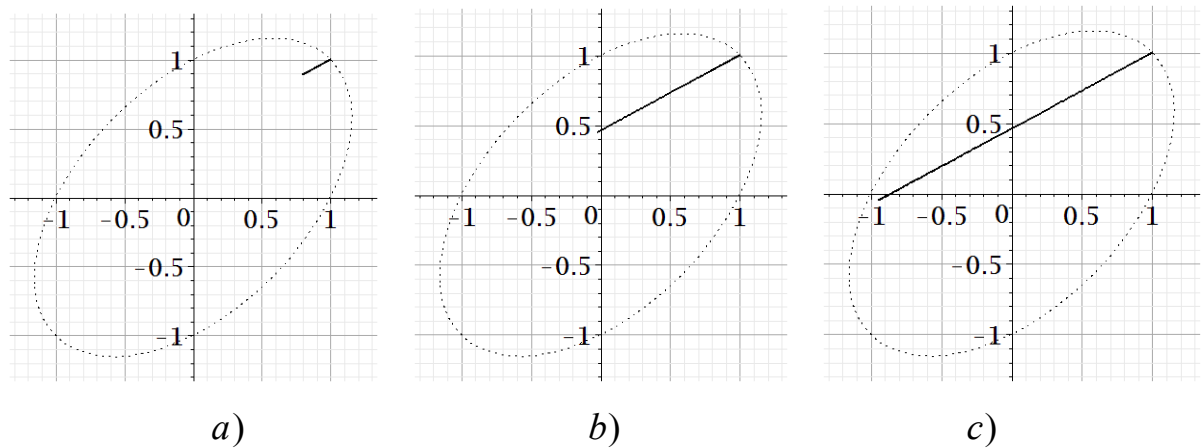


Рис.3. Годограф вектора напряжений.  $\nu = 0.3$ , а)  $m = 0.5039, p_b = -0.7953$ ,  
б)  $m = 2.5198, p_b = 0.02336$ , в)  $m = 4.7874, p_b = 0.9449$

### Предельное состояние диска

Если радиус упругопластической границы  $c=1$ , то диск будет находиться в предельном состоянии. В этом случае один из параметров  $m$  или  $p_b$  задается, а другой определяется из решения задачи (5); параметр  $p_b = [-k; 2k/\sqrt{3}]$ . Поскольку для решения задачи (5) надо указать значение параметра  $m$ , то наибольшее значение  $m = m_{max}$  определяется из условия  $\sigma_{eq}|_{\rho=b} = k$ , когда  $p_b = 2k/\sqrt{3}$ .

Например, когда  $p_b = 2k/\sqrt{3}$ , то с точностью до  $10^{-4}$  значение  $m_{max} = 6.276$ .

### Упругопластическое состояние диска

Рассматриваем случай, когда в области  $0 \leq \rho \leq c$  реализуется пластическое состояние, а в области  $c \leq \rho \leq b$  – упругое состояние.

Обозначим через  $p_c$  и  $\sigma_c$  – давление и значение окружного напряжения на упругопластической границе соответственно. Тогда величины  $A$  и  $B$  в (6) и радиус упругопластической границы будут определяться из условий непрерывности напряжений на упругопластической границе (2) и граничного условия  $\sigma_\rho|_{\rho=b} = -p_b$ .



Зная наименьшие значения параметров  $m$  и  $p_b$ , когда радиус упругопластической границы  $c = 0$ , и наибольшее значение параметров  $m = m_{max}$  и  $p_b$ , когда радиус упругопластической границы  $c = b$ , можно выбрать один из множества возможных алгоритмов решения упругопластической задачи. Вид каждого конкретного алгоритма вполне очевиден.

### Результаты численных вычислений

На рис. 4 представлены графики годографа вектора напряжений, когда диск находится в упругопластическом состоянии для разных значений внешних параметров  $m$  и  $p_b$  с точностью до  $10^{-4}$ .

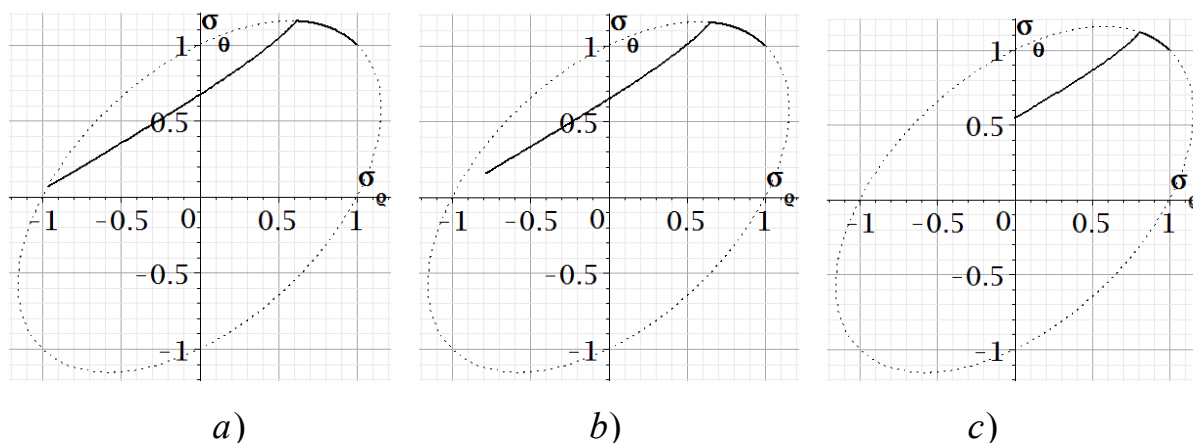


Рис.4. Годограф вектора напряжений.  $c = 0.5$ ,  $\nu = 0.3$ ,

a)  $m = 5.4715, p_b = 0.9646$ , b)  $m = 5, p_b = 0.7986$ , c)  $m = 2.83, p_b = 0$

Подход к построению годографа вектора напряжений как элемент верификации алгоритма решения задач предлагался ранее в работах [8, 9].

### Выводы

Для построения алгоритма решения задачи о вращающемся диске, испытывающем боковое давление, необходимо определить допустимые значения внешних параметров  $m$  и  $p_b$ , для которых диск будет находиться в упругом состоянии. Наибольшие допустимые значения этих параметров будут являться наименьшими значениями для упругопластического

состояния диска. Наибольшие допустимые значения параметров  $m$  и  $p_b$  для упругопластического состояния определяются из рассмотрения предельного состояния диска. Предлагаемые графики для годографа вектора напряжений позволяют контролировать правильность алгоритма решения задачи.

### Литература

1. Timoshenko S. R., Goodier J. N. Theory of Elasticity. New York: McGraw-Hill, 1970. 506 p.
2. Соколовский В. В. Теория пластичности. М.: Высшая школа. 1969. 608 с.
3. Calladine C. R. Engineering Plasticity. Oxford: Pergamon, 1969. 318 p.
4. Życzkowski M. Combined Loadings in the Theory of Plasticity. Warsaw: PWN-Polish Scientific Publishers, 1981. 714 p.
5. Chakrabarty J. Theory of Plasticity. Oxford: Elsevier Butterworth-Heinemann, 2006. 882 p.
6. Gamer U. Tresca's Yield Condition and the Rotating Disk // Transactions ASME Journal of Applied Mechanics. 1983. V. 50, pp. 676–678.
7. Güven U. On the elastic-plastic rotating shrink fit with linearly hardening hub exhibiting variable thickness in exponential form // Acta Mechanica. 1993. V. 99, pp. 125–134.
8. Александров С.Е., Ломакин Е.В., Дзенг Й.Р. Влияние зависимости условия текучести от среднего напряжения на распределение напряжений во вращающемся диске // Доклады Академии наук. 2010. Т. 435. № 5. С. 610–612.
9. Aleksandrova N. Exact deformation analysis of a solid rotating elastic-perfectly plastic disk // International Journal of Mechanical Science, 2014. V. 60, pp. 88–55.



10. Zafarmand H., Hassani B. Analysis of two-dimensional functionally graded rotating thick disks with variable thickness // *Acta Mechanica*. 2014. V. 225, pp. 453–464.

11. Артемов М. А., Барановский Е. С., Бердзенишвили Г. Г., Переяславская И. И. О напряженном состоянии тонкого диска с учетом зависимости предела текучести от температуры // *Инженерный вестник Дона*, 2017, № 3. URL: [ivdon.ru/ru/magazine/archive/n3y2017/4359](http://ivdon.ru/ru/magazine/archive/n3y2017/4359)

12. Aleksandrova N. N., Artemov M. A., Baranovskii E. S., Shashkin A. I. On stress/strain state in a rotating disk // *Journal of Physics: Conference Series*. 2019. Vol. 1203, Article ID 012001, DOI: 10.1088/1742-6596/1203/1/012001

### References

1. Timoshenko S. R., Goodier J. N. *Theory of Elasticity*. New York: McGraw-Hill, 1970. 506 p.

2. Sokolovsky V. V. *Teoriya plastichnosti [Plasticity theory]*. Moscow: Vysshaya Shkola, 1969. 608 p.

3. Calladine C. R. *Engineering Plasticity*. Oxford: Pergamon, 1969. 318 p.

4. Życzkowski M. *Combined loadings in the theory of plasticity*, PWN-Polish Scientific Publishers, Warsaw, 1981. 714 p.

5. Chakrabarty J. *Theory of Plasticity*. Elsevier Butterworth-Heinemann, 2006. 882 p.

6. Gamer U. *Transactions ASME Journal of Applied Mechanics*. 1983. V. 50, pp. 676–678.

7. Güven U. *Acta Mechanica*. 1993. V. 99, pp. 125–134.

8. Aleksandrov S. E., Lomakin E. V., Dzenj J. R. *Doklady Akademii nauk*. 2010. T. 435. № 5. С. 610–612.

9. Aleksandrova N. *International Journal of Mechanical Science*. 2014. V. 60, pp. 88–55.



10. Zafarmand H., Hassani B. *Acta Mechanica*. 2014. V. 225, pp. 453–464.
11. Artemov M. A., Baranovskii E. S. Berdzenishvili G. G., Pereyaslavskaya I. I. *Inzhenernyj vestnik Dona (Rus)*, 2017. № 3. URL: [ivdon.ru/ru/magazine/archive/n3y2017/4359](http://ivdon.ru/ru/magazine/archive/n3y2017/4359).
12. Aleksandrova N. N., Artemov M. A., Baranovskii E. S., Shashkin A. I. *Journal of Physics: Conference Series*. 2019. Vol. 1203. Article ID 012001, DOI: 10.1088/1742-6596/1203/1/012001